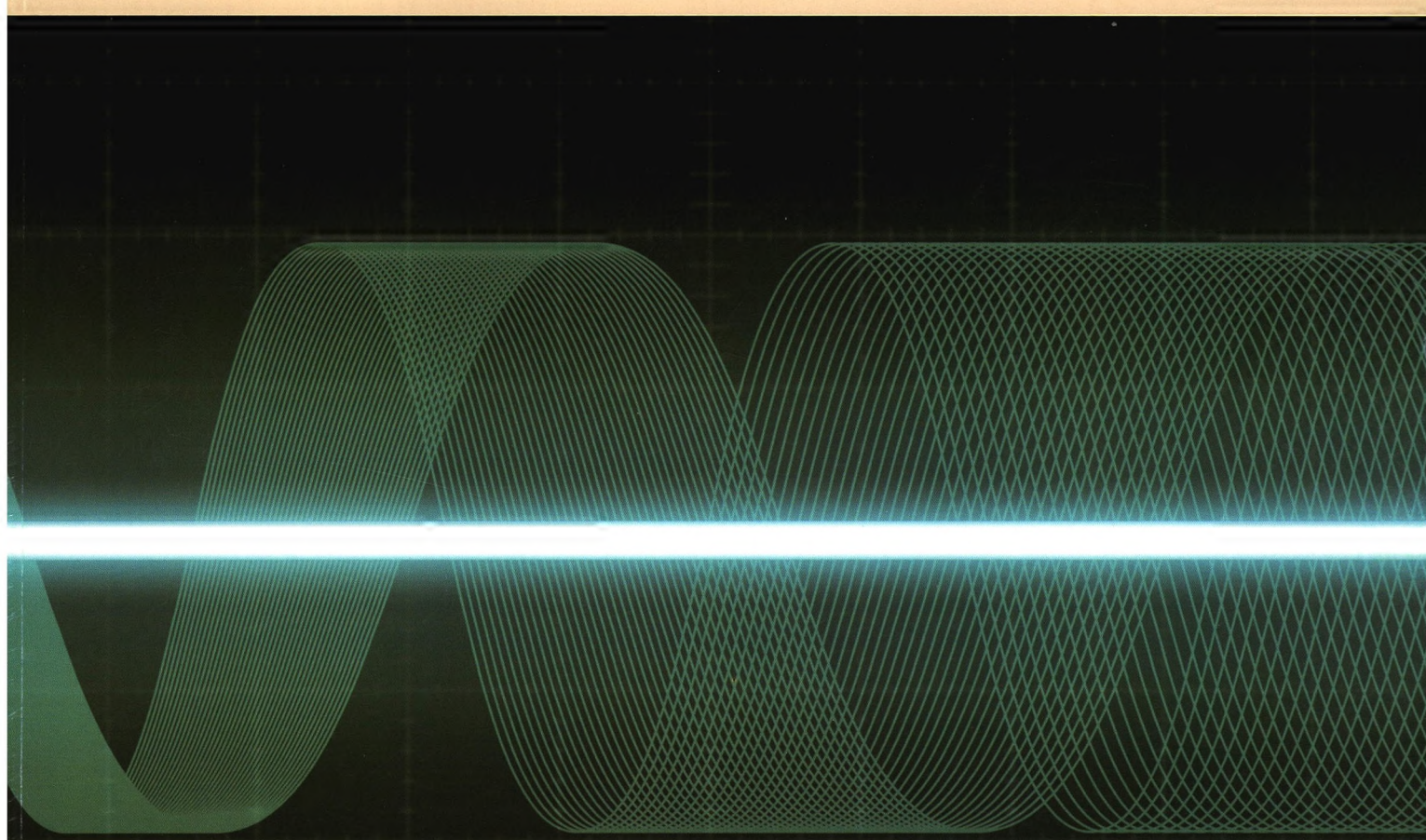




Q K 1 8 5 9 9 6 3

振动与冲击

JOURNAL OF VIBRATION AND SHOCK



ZHENDONG YU CHONGJI

半月刊 | 21/2018
第37卷

ISSN 1000-3835



9 771000 383189

万方数据

中国振动工程学会
上海交通大学主办
上海市振动工程学会

目 次

- 铝合金板式节点单层球面网壳的自振特性研究 王丽, 郭小农, 朱劭骏, 等 (1)
- 任意光滑截面桥墩地震动水压力分析 王丕光, 赵密, 杜修力 (8)
- 基于有限元和面元法的弹性螺旋桨流固耦合特性分析 李家盛, 张振果, 华宏星 (14)
- 破片着靶点位置对拼接的UHMWPE板抗侵彻性能影响数值研究 方志威, 侯海量, 李典, 等 (22)
- 块系岩体动态特性测试系统研制及其应用 蒋海明, 李杰, 王明洋 (29)
- 考虑随机几何初始缺陷的储油罐抗震可靠度分析 徐亚洲, 娄燕芳 (35)
- 基于水击防护的球阀关闭规律研究 彭利坤, 屈铎, 许文奇, 等 (41)
- 人群激励下人行桥非线性横向参数振动研究 陈舟, 颜全胜, 邓德员, 等 (46)
- 近断层地震动下曲线梁桥碰撞效应研究 左烨, 孙广俊, 王志鹏, 等 (52)
- 基于VMD-HMM的滚动轴承磨损状态识别 李奕江, 张金萍, 李允公 (61)
- 基于EEMD-HHT的近岸冲流带波浪非线性波动特征分析 邓斌, 蒋昌波, 李志威, 等 (68)
- 南宁五象东盟塔风振响应大涡模拟研究 余远林, 杨易, 刘付均, 等 (78)
- 基于变分模态分解奇异值熵的滚动轴承微弱故障辨识方法 张琛, 赵荣珍, 邓林峰 (87)
- 基于模糊C均值聚类小波包重构的车辆频域非平稳振动谱模拟方法研究
..... 丛楠, 任焱晞, 陈俊达, 等 (92)
- 不同台风下高层建筑气动阻尼比综合对比分析 张传雄, 李正农, 史文海, 等 (100)
- 基于多目标优化的混凝土斜拉桥静动力有限元模型修正 彭涛, 田仲初, 张建仁, 等 (108)
- 脉冲燃烧风洞测力系统传力特性研究 李世超, 高宏力, 刘勃锴, 等 (117)
- 整体强制反应位移法适用性分析及修正 陈之毅, 谈忠傲, 楼梦麟 (126)
- 非线性裂纹转子的振动控制与裂纹延缓的研究 刘军, 胡敏, 陈建恩, 等 (134)
- 快速液压冲击试验台研究 王洁, 张建卓, 安站东, 等 (143)
- 基于振动信号的柴油发动机缸压恢复
万方数据 张帅, 曾锐利 (150)

- 非均匀热载荷对统计能量分析参数的影响 陈 强, 杨 轩, 李彦斌, 等 (158)

扭心偏移对桁梁桥颤振临界风速影响的试验研究 李永乐, 武 兵, 汪 斌, 等 (165)

基于动态插值自适应方法的时变轴系纵向振动主动控制 郑洪波, 章 会, 胡 芳, 等 (171)

Noor III 光热电站吸热塔气动阻尼研究 黄景辉, 李寿英, 刘 敏, 等 (177)

一种具有几何非线性的斜置式惯容隔振器动态特性研究 王 勇, 汪若尘, 孟浩东 (184)

新型斜截面形状嵌套谐振器的吸声特性研究 高南沙, 侯 宏 (190)

单个角型颗粒冲蚀机理实验系统设计及实验 李增亮, 杜明超, 董祥伟, 等 (195)

三参数隔振系统归一化模型及参数优化 焦小磊, 赵 阳, 马文来, 等 (204)

基于时域响应灵敏度分析的非线性系统参数识别 刘 广, 刘济科, 吕中荣 (213)

非线性动力分析的广义精细积分法 王海波, 何崇检 (220)

基于齿轮修形的混合动力变速箱齿轮啸叫研究 葛 敏, 郭 啓, 于海生, 等 (227)

基于香农熵特征的发动机故障诊断方法 丁 雷, 曾锐利, 沈 虹, 等 (233)

不同重力环境下含间隙旋转铰位置特性仿真研究 刘福才, 兰 会, 刘 林, 等 (240)

山区地形实测风非平稳特性和非高斯特性分析 辛亚兵, 刘志文, 邵旭东, 等 (247)

带有 Neumann 边界波动方程初边值问题的达朗贝尔类解 陈松林, 马文冉 (253)

凸舌油槽对摆线转子泵脉动特性的影响 牟介刚, 刘 涛, 谷云庆, 等 (260)

基于散列函数的双网格校正小波聚类算法 刘晓波, 韩子东, 邵伟芹, 等 (267)

桥梁结构系统地震易损性分析方法研究 吴文朋, 李立峰 (273)

本期广告索引

单色、彩色广告

封二 扬州英迈克测控技术有限公司
封三 北京东方振动和噪声技术研究所
封四 北京声望声电技术有限公司
前插1 杭州亿恒科技有限公司
前插2 南京安正软件工程有限公司
前插3 南京安正软件工程有限公司

前插4 德国m+p国际公司北京代表处

前插 5 PCB 压电传感技术(北京)有限公司

前插6 米勒贝姆振动与声学系统(北京)有限公司

彩色广告

后插 1 杭州锐达数字技术有限公司

后插2 杭州锐达数字技术有限公司

CONTENTS

- Free vibration characteristics of single-layer spherical aluminium alloy latticed shells with gusset joints WANG Li, GUO Xiaonong, ZHU Shaojun, et al (1)
- Earthquake induced hydrodynamic pressure on a uniform vertical cylinder with arbitrary smooth cross-section WANG Piguang, ZHAO Mi, DU Xiuli (8)
- Hydro-elastic analysis for dynamic characteristics of marine propellers using finite element method and panel method LI Jiasheng, ZHANG Zhenguo, HUA Hongxing (14)
- Numerical simulation for influences of fragment impact positions on anti-penetration performance of UHMWPE plate FANG Zhiwei, HOU Hailiang, LI Dian, et al (22)
- Development of a test system for dynamic characteristics of blocky rock mass and its application JIANG Haiming, LI Jie, WANG Mingyang (29)
- Aseismic reliability analysis for oil storage tanks with random geometric initial imperfections XU Yazhou, LOU Yanfang (35)
- Closing law of ball valves based on water hammer protection PENG Likun, QU Duo, XU Wenqi, et al (41)
- Footbridge nonlinear lateral parametric vibration under crowd excitation CHEN Zhou, YAN Quansheng, DENG Deyuan, et al (46)
- Pounding effect of curved bridges subjected to near-fault seismic ground motions ZUO Ye, SUN Guangjun, WANG Zhipeng, et al (52)
- Wear state recognition of rolling bearings based on VMD-HMM LI Yijiang, ZHANG Jinping, LI Yungong (61)
- Characteristics analysis of wave hydrodynamics in coastal swash zone based on EEMD-HHT method DENG Bin, JIANG Changbo, LI Zhiwei, et al (68)
- Large eddy simulation for wind induced responses of Nanning Wuxiang ASEAN Tower YU Yuanlin, YANG Yi, LIU Fujun, et al (78)
- Weak fault identification of rolling bearings based on VMD singular value entropy ZHANG Chen, ZHAO Rongzhen, DENG Linfeng (87)
- A simulation method for vehicle frequency domain non-stationary vibration spectrum based on wavelet packet reconstruction and fuzzy C-mean clustering CONG Nan, REN Yanxi, CHEN Junda, et al (92)
- Comprehensive comparison analysis for aerodynamic damping ratio of a tall building under different typhoons ZHANG Chuanxiong, LI Zhengnong, SHI Wenhui, et al (100)
- Static and dynamic finite element model updating for a concrete cable-stayed bridge based on multi-objective optimization PENG Tao, TIAN Zhongchu, ZHANG Jianren, et al (108)
- Force transmission characteristics of force-measuring system in impulse combustion wind tunnel LI Shichao, GAO Hongli, LIU Bokai, et al (117)
- Applicability analysis and modification for integral forced response displacement method CHEN Zhiyi, TAN Zhong'ao, LOU Menglin (126)
- Vibration control and crack propagation delay of a nonlinear cracked rotor LIU Jun, HU Min, CHEN Jianen, et al (134)
- High-speed hydraulic impact test bench WANG Jie, ZHANG Jianzhuo, AN Zhandong, et al (143)
- Diesel engine cylinder pressure recovery based on vibration signals ZHANG Shuai, ZENG Ruili (150)

Effects of nonuniform thermal load on statistical energy analysis's parameters CHEN Qiang, YANG Xuan, LI Yanbin, et al (158)
Tests for effects of torsional center offset on flutter critical wind velocity of a truss bridge LI Yongle, WU Bing, WANG Bin, et al (165)
Longitudinal vibration active control for a time-varying shafting system based on a dynamic interpolation adaptive algorithm ZHENG Hongbo, QIN Hui, HU Fang, et al (171)
Aerodynamic damping of heat absorption tower of Noor III solar thermal power station HUANG Jinghui, LI Shouying, LIU Min, et al (177)
Dynamic characteristics of an inclined inerter-based vibration isolator with geometric nonlinearity WANG Yong, WANG Ruochen, MENG Haodong (184)
Sound absorption characteristics of a new type oblique-section nested resonator GAO Nansha, HOU Hong (190)
Design and tests for single angular particle erosion mechanism test system LI Zengliang, DU Mingchao, DONG Xiangwei, et al (195)
Normalized model of a 3-parameter isolation system and its parametric optimization JIAO Xiaolei, ZHAO Yang, MA Wenlai, et al (204)
Parametric recognition of a nonlinear system based on time domain response sensitivity analysis LIU Guang, LIU Jike, LÜ Zhongrong (213)
Generalized precise time domain integration method for nonlinear dynamic analysis WANG Haibo, HE Chongjian (220)
Hybrid transmission's gear whine based on gear micro-modification GE Min, GUO Han, YU Haisheng, et al (227)
An engine fault diagnosis method based on Shannon entropy features DING Lei, ZENG Ruili, SHEN Hong, et al (233)
Simulation for motion characteristics of rotating hinges with clearance under different gravity environments LIU Fucai, LAN Hui, LIU Lin, et al (240)
Non-stationary and non-Gaussian features of mountain terrain measured wind XIN Yabing, LIU Zhiwen, SHAO Xudong, et al (247)
D'Alembert solution to initial-boundary value problems of wave equation with Neumann boundary CHEN Songlin, MA Wenran (253)
Effects of tongue oil groove on fluctuation characteristics of a cycloid rotor pump MOU Jiegang, LIU Tao, GU Yunqing, et al (260)
A double-grid correction wavelet clustering algorithm based on hash function LIU Xiaobo, HAN Zidong, SHAO Weiqin, et al (267)
System seismic fragility analysis methods for bridge structures WU Wenpeng, LI Lifeng (273)

JOURNAL OF VIBRATION AND SHOCK

Vol. 37 No. 21 NOVEMBER 2018

Editorial Office: 1954 Huashan Rd. Shanghai, 200030, China
Issuer Abroad: China National Publishing Industry Trading Corporation
(Post-Office Box No. 728, Beijing, China)



传声器及声阵列



声望公司生产和销售测量传声器已有15年历史。我们为客户提供1英寸、1/2英寸及1/4英寸的I、II型传声器；应用领域包括自由场、压力场及扩散场；供电方式包括ICCP®预极化0V供电、48V幻象供电及200V供电。

声望公司的传声器性价比优越，稳定性好，客户包括多个国外声级计生产厂商。

声望公司还可按照客户要求，设计和制造传声器阵列。产品包括一字、十字、螺旋及无规则形状阵列。阵列用传声器可选用声望公司专有的MPA201及MPA416阵列传声器，该系列传声器相位匹配度高，适用于高精度阵列测量。



微信二维码

BSWA 声望技术

总部

北京声望声电技术有限公司 地址：北京市西城区裕民路 18 号 北环中心 1002-1003 室 邮编：100029
电话：400 060 3060 传真：010-82251626 Email：bswa@bswa.com.cn Website：www.bswa.com.cn

广州办事处

地址：广州市海珠区广州大道南 855 号敦和商务公寓 A 栋 M03 室 电话 / 传真：020-84217929